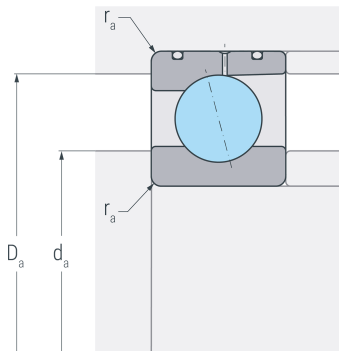
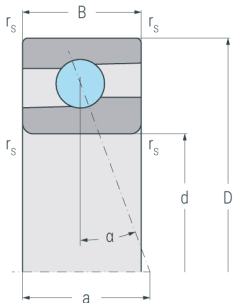
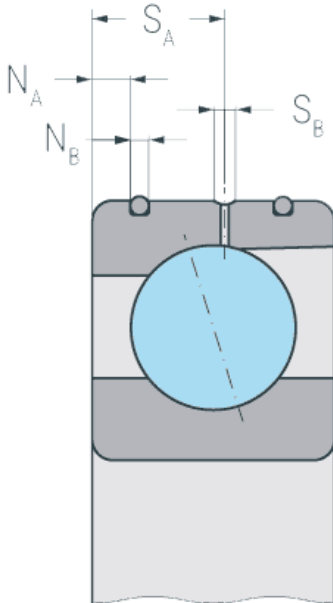


XC71915E.DLR.T.P4S

Hochgeschwindigkeits-Hybridspindellager, angestellt, paar- oder satzweise, Druckwinkel 25°, eine Schmierille mit zwei Schmierbohrungen, zwei Ringnuten mit O-Ringen, Hartgewebekäfig, eingengte Toleranzen, Ringe aus Cronidur® 30, Wälzkörper aus Siliziumnitrid



Abmessungen

| | | | |
|--------------------------|------|-----|-------------------------|
| d | (mm) | 75 | Bohrungsdurchmesser |
| D | (mm) | 105 | Außendurchmesser |
| B | (mm) | 16 | Breite |
| a | (mm) | 29 | Stützweite |
| r_{s min} | (mm) | 0.6 | minimaler Kantenabstand |

Druckwinkel

| | | | |
|----------|-----|----|-------------|
| α | (°) | 25 | Druckwinkel |
|----------|-----|----|-------------|

DLR-Abmessung

| | | | |
|----------------------|------|-----|--------------------------|
| N_B | (mm) | 1.8 | Breite der Nut |
| N_A | (mm) | 3.1 | Abstand der Nut |
| S_B | (mm) | 1.6 | Breite der Schmierrille |
| S_A | (mm) | 9.3 | Abstand der Schmierrille |

Anschlussmaße

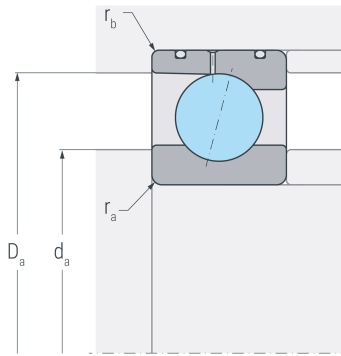
| | | | |
|--------------------------|------|------|---------------------------------|
| d_a h12 | (mm) | 81 | Durchmesser der Wellenschulter |
| D_a H12 | (mm) | 99.5 | Durchmesser der Gehäuseschulter |
| r_{a max} | (mm) | 0.6 | maximaler Rundungsradius |

Gewicht

| | | | |
|-----------|--|-------|---------|
| kg | | 0.379 | Gewicht |
|-----------|--|-------|---------|

XC71915E.DLR.T.P4S

Hochgeschwindigkeits-Hybridspindellager, angestellt, paar- oder satzweise, Druckwinkel 25°, eine Schmierille mit zwei Schmierbohrungen, zwei Ringnuten mit O-Ringen, Hartgewebekäfig, eingengte Toleranzen, Ringe aus Cronidur® 30, Wälzkörper aus Siliziumnitrid



Leistungsdaten

| | | | |
|--------------------------|----------------------|-------|---------------------------------|
| C_r | (kN) | 27.9 | dynamische Tragzahl, radial |
| C_{0r} | (kN) | 12 | statische Tragzahl, radial |
| C_{ur} | (kN) | 1.13 | Ermüdungsgrenzbelastung, radial |
| n_{G oil} | (min ⁻¹) | 34000 | Grenzdrehzahl, Ölschmierung |
| F_{VL} | (N) | 72 | Vorspannkraft, leicht |
| F_{VM} | (N) | 220 | Vorspannkraft, mittel |
| F_{VS} | (N) | 435 | Vorspannkraft, schwer |
| C_{aL} | (N/μm) | 124.5 | axiale Steifigkeit, leicht |
| C_{aM} | (N/μm) | 185.4 | axiale Steifigkeit, mittel |
| C_{aS} | (N/μm) | 238 | axiale Steifigkeit, schwer |
| K_{aEL} | (N) | 211 | Abhebekraft, leicht |
| K_{aEM} | (N) | 641 | Abhebekraft, mittel |
| K_{aES} | (N) | 1297 | Abhebekraft, schwer |